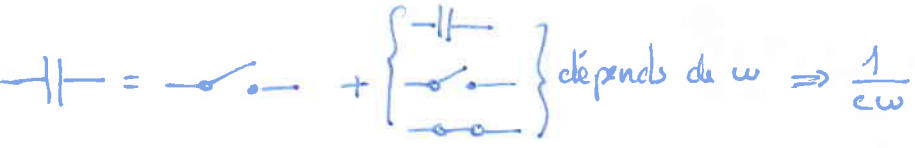


Transmission du signal.

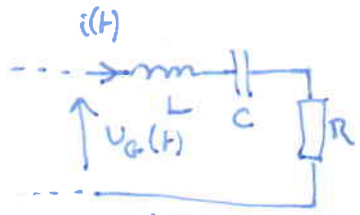
Theorie de l'E (noeud, maille, thevenin, norton, millman)

RLE C°, sinus, diode, ampli op, transistors, ampli de puissance, alimentat°, ampli audio

$X(t) = \langle X(t) \rangle + x(t) \quad \omega = 2\pi f. \quad \text{Impedance} = \frac{1}{C\omega}$



Application 1: RLC série

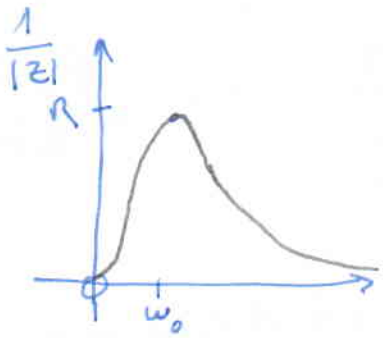
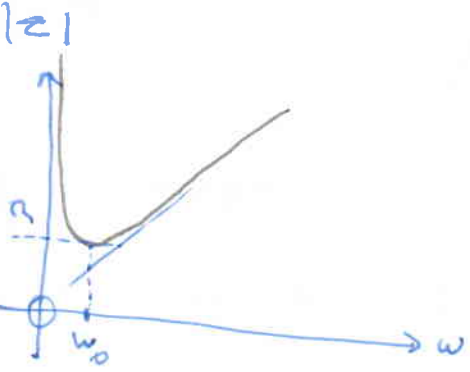


$|z| = \frac{|U|}{|i|} (\omega)?$

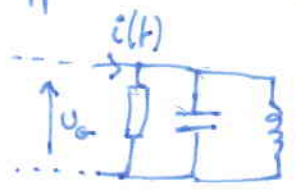
$Z = jL\omega + \frac{1}{jC\omega} + R$
 $Z = R + jL\omega - j\frac{1}{C\omega}$
 $Z = R(1 + j\frac{L\omega\omega_0}{R\omega_0} - j\frac{1}{R\omega\omega_0})$
 $Q_s = \frac{L\omega_0}{R} = \frac{1}{RC\omega_0}$ (sans unité)

facteur de qualité.
 $Q = Q_s \times Q_p$

$Z = R(1 + jQ_s(\frac{\omega}{\omega_0} - \frac{\omega_0}{\omega}))$
 $|z| = R\sqrt{1 + Q_s^2(\frac{\omega}{\omega_0} - \frac{\omega_0}{\omega})^2}$



Application 2 : RLC parallèle



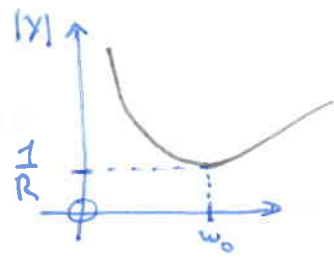
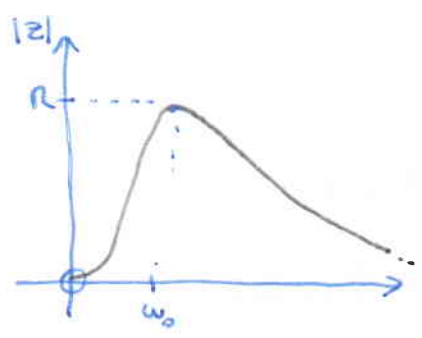
$$Y = \frac{1}{R} + jC\omega + \frac{1}{jL\omega} = \frac{1}{R} \left(1 + jRC\omega \frac{\omega_0}{\omega} - j \frac{R}{L\omega} \frac{\omega_0}{\omega} \right)$$

$$Q_p = RC\omega_0 = \frac{R}{L\omega_0}$$

$$Y = \frac{1}{R} \left(1 + jQ_p \left(\frac{\omega}{\omega_0} - \frac{\omega_0}{\omega} \right) \right)$$

$$|Y| = \frac{1}{R} \sqrt{1 + Q_p^2 \left(\frac{\omega}{\omega_0} - \frac{\omega_0}{\omega} \right)^2}$$

$$|z| = \frac{R}{\sqrt{1 + Q_p^2 \left(\frac{\omega}{\omega_0} - \frac{\omega_0}{\omega} \right)^2}}$$



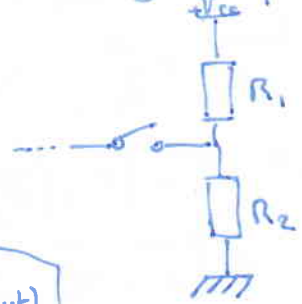
Rappel 2 : rôle des condensateurs
Condensateur de couplage

$$u_g(t) = E_s + E_d \cos(\omega t)$$

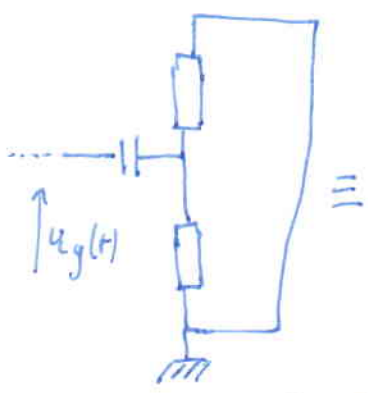
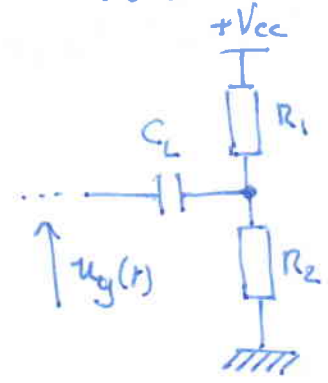
statique dyn

Montage dynamique.

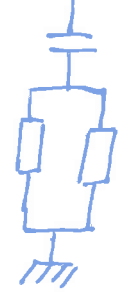
Montage statique



Circuit



$$u_g(t) = E_d \sin(\omega t)$$

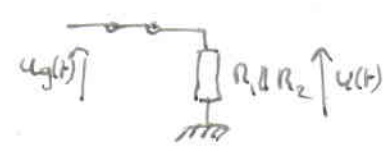


$$\langle u(t) \rangle = U_0 = V_{cc} \frac{R_2}{R_1 + R_2}$$

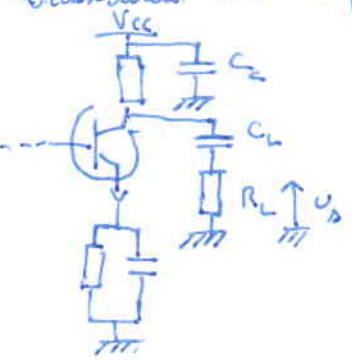
$$u = u_g \left(\frac{R_1 \parallel R_2}{R_1 \parallel R_2 + \frac{1}{jC\omega_0}} \right) \quad \frac{1}{jC\omega_0} \text{ négligeable}$$

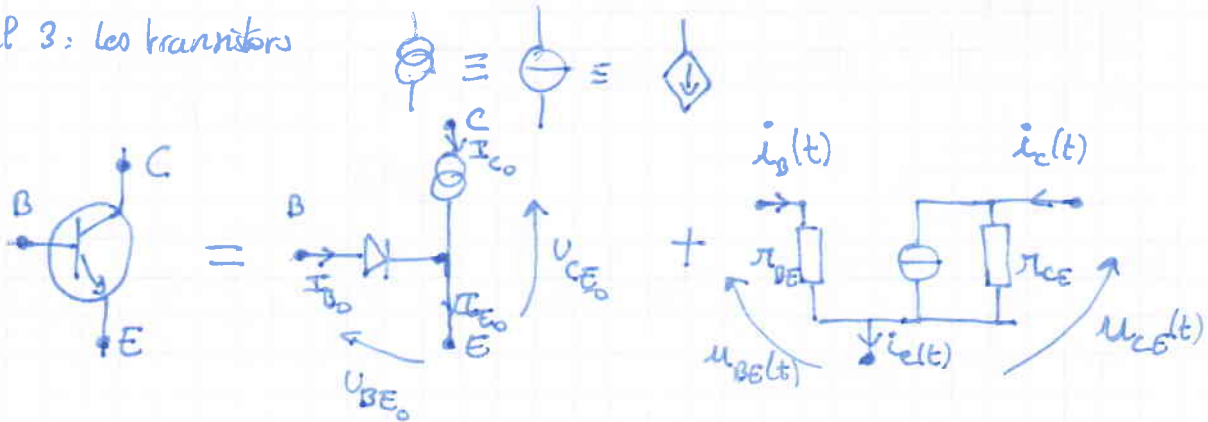
$$u \sim u_g$$

//

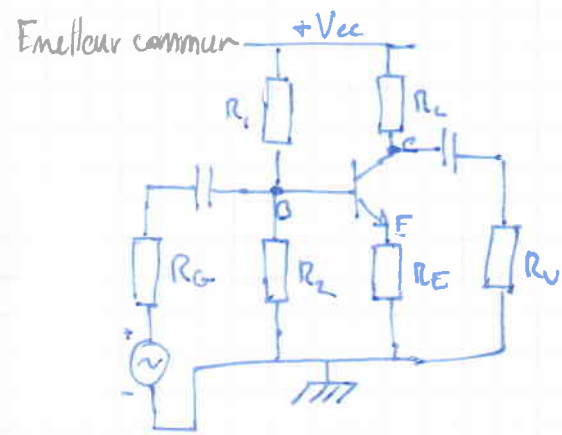


Condensateur de découplage : supprime le rôle des résistances au de l'élément en dynamique en les ramenant à la masse.

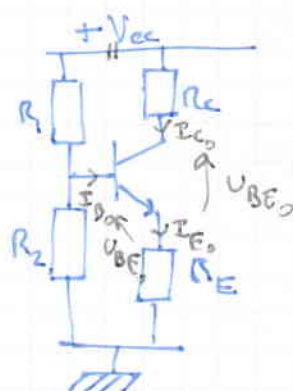




$$X(t) = \langle X(t) \rangle + x(t)$$

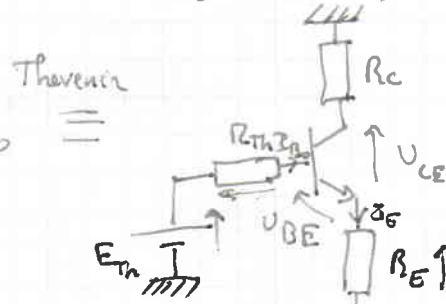


1) Schéma statique



2) Point de polarisation

$$U_{BE0} = 0,68V ; \beta = 100$$

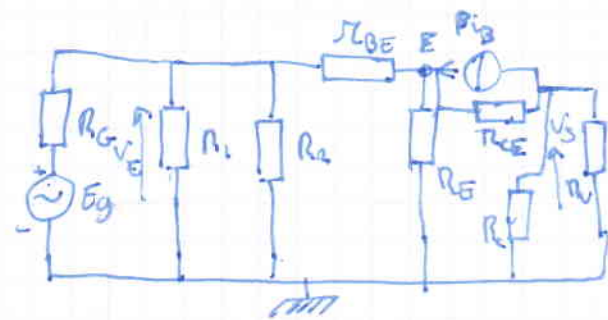
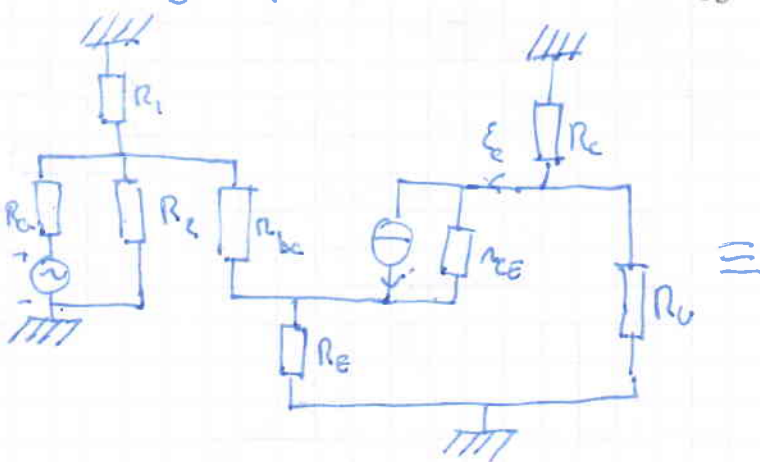


$$I_{C0} = \beta I_{B0} \text{ or } I_{E0} = I_{C0} + I_{B0} = (\beta + 1) I_{B0} \approx \beta I_{B0} \quad \left| \text{ où } E_{Th} = V_{cc} \frac{R_2}{R_1 + R_2} \text{ et } R_{Th} = R_1 \parallel R_2 \right.$$

$$\begin{cases} 0 = I_E R_E + U_{BE} + R_{Th} I_B - E_{Th} \\ 0 = R_E I_C + U_{CE} + R_C I_C - V_{cc} \end{cases} \Leftrightarrow \begin{cases} I_{B0} = \frac{E_{Th} - U_{BE0}}{R_{Th} + \beta R_E} \\ I_{C0} = \beta I_{B0} = 6,9 \text{ mA} \end{cases}$$

$$U_{CE0} \sim 6,35V$$

3) Schéma dynamique



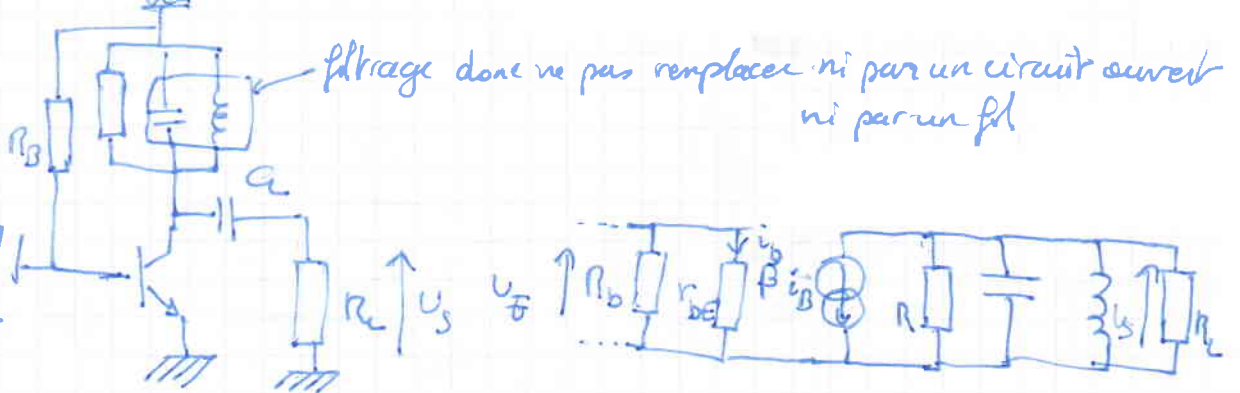
$$V_E = R_E (i_b + i_c) + r_{BE} i_b$$

$$\frac{V_s}{V_e} = \frac{-(R_C \parallel R_O) \beta}{R_E (\beta + 1) + r_{BE}}$$

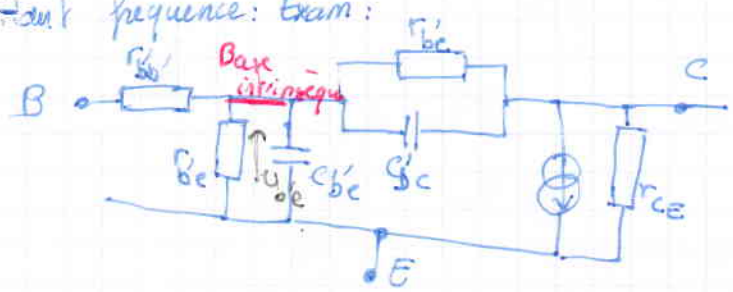
$$V_s = (R_C \parallel R_O) i_c$$

Impédance d'entrée: $\frac{V_e}{I_e} = (R_C \parallel R_O) \parallel (r_{BE} + (\beta + 1) R_E) = Z_{entree}$

" de sortie: $\left. \frac{V_s}{I_s} \right|_{e_g=0}$ Meilleur ampli idéal: $\left. \begin{cases} Z_{entree} \text{ forte} \Rightarrow i_e \text{ petit} \\ Z_{sortie} \text{ petit} \end{cases} \right| A_{V_0} \rightarrow +\infty$

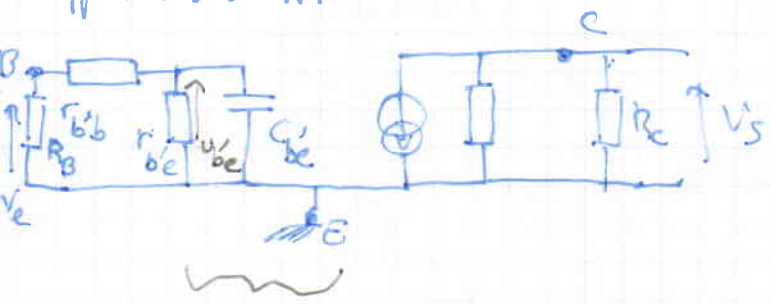


Haute fréquence: Exam:



r_{bb} négligé en BF, mais non négligeable en HF

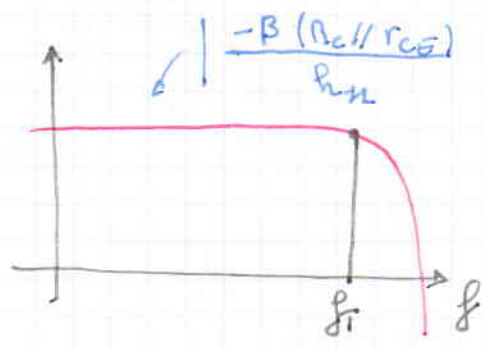
Approximation HF:



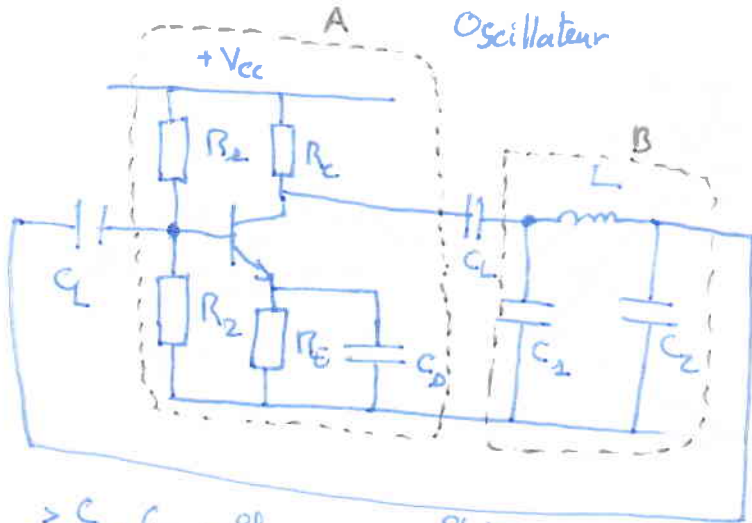
$$\frac{r_{bb}}{1 + jr_{be}C_{be}\omega} \text{ on a } U_{be}' = U_E \frac{\frac{r_{bb}}{1 + jr_{be}C_{be}\omega}}{\frac{r_{bb}}{1 + jr_{be}C_{be}\omega} + r_{bb}'}$$

\Rightarrow filtre passe-bas 1er ordre

$$V_{A0} = -(r_{ce} // R_C) g_m U_{be}'$$



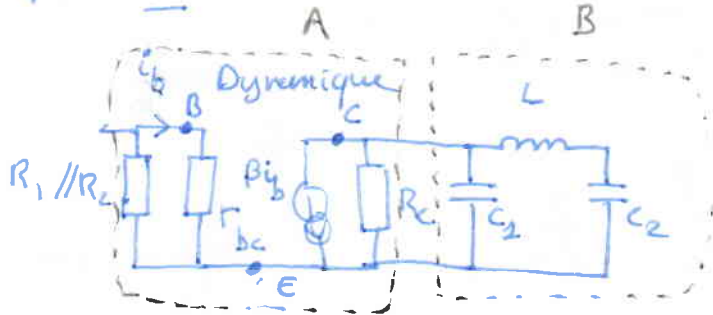
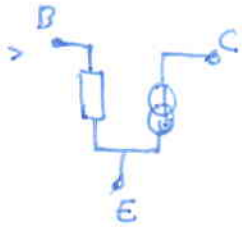
$$f_T = \frac{1}{2\pi (r_{be}' // r_{bb}') C_{be}}$$



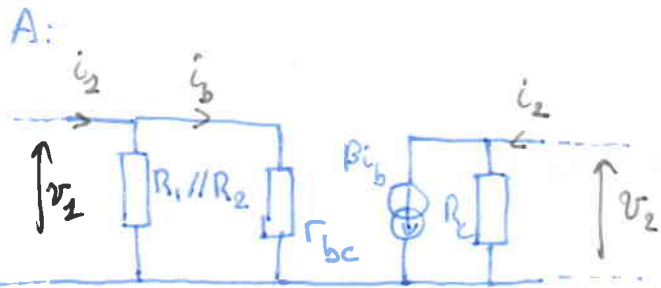
- 1) Calculer la fréquence des oscillations
- 2) Calculer le gain de l'amplificateur A

$C_1, C_2 \Rightarrow$ fils.

Statique



\Rightarrow Ce sont des quadripôles.



Paramètre (y) du Q.

$$\begin{cases} i_1 = y_{11} v_1 + y_{12} v_2 \\ i_2 = y_{21} v_1 + y_{22} v_2 \end{cases}$$

on a : $i_1 = \frac{v_1}{(R_1 // R_2) // r_{be}} = y_{11} v_1 + y_{12} v_2$

on a $i_2 = \frac{v_2}{R_C} + \beta i_b$

$y_{11} = \frac{1}{(R_1 // R_2) // r_{be}}$ et $y_{12} = 0$

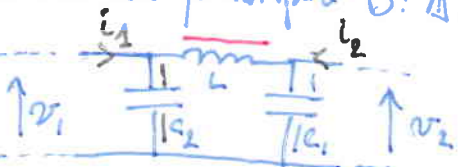
or $i_b = \frac{v_1}{r_{be}}$

donc $i_2 = \frac{v_2}{R_C} + \beta \frac{v_1}{r_{be}}$

on en conclut $y_{21} = \frac{\beta}{r_{be}}$ et $y_{22} = \frac{1}{R_C}$

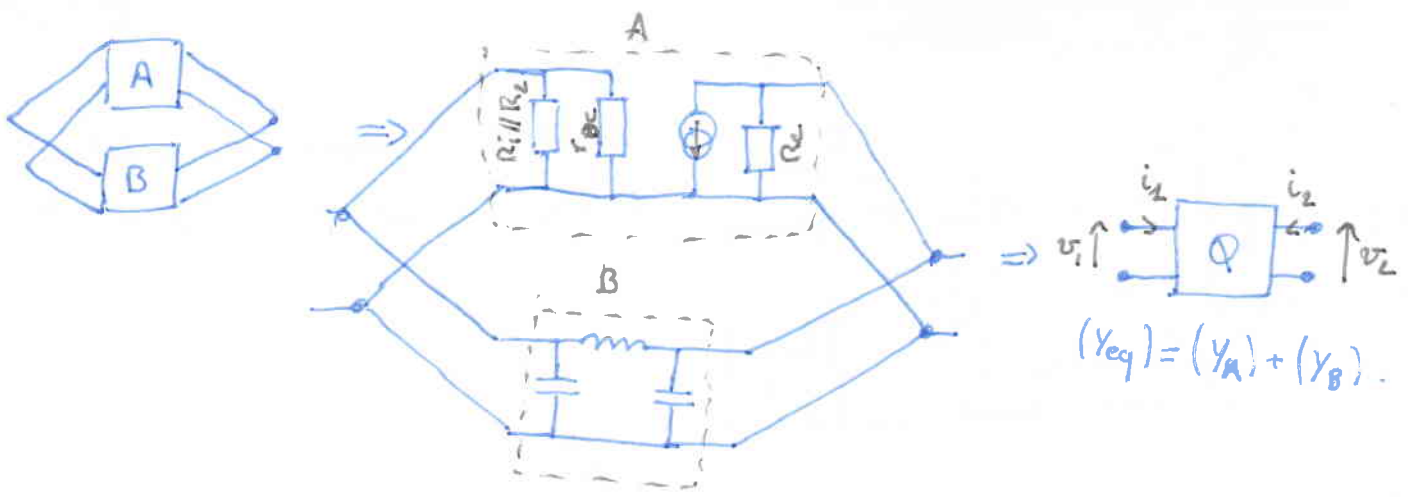
$$\Rightarrow (Y_A) = \begin{pmatrix} \frac{1}{(R_1 // R_2) // r_{be}} & 0 \\ \frac{\beta}{r_{be}} & \frac{1}{R_C} \end{pmatrix}$$

Etude du quadripôle B: A Entrée par C_2



$$\Rightarrow (Y_B) = \begin{pmatrix} jC_2\omega + \frac{1}{jL\omega} & -\frac{1}{jL\omega} \\ -\frac{1}{jL\omega} & jC_1\omega + \frac{1}{jL\omega} \end{pmatrix}$$

on a $\begin{cases} i_2 = jC_2\omega v_1 + \frac{v_1 - v_2}{jL\omega} \\ i_1 = jC_1\omega v_2 + \frac{v_2 - v_1}{jL\omega} \end{cases}$

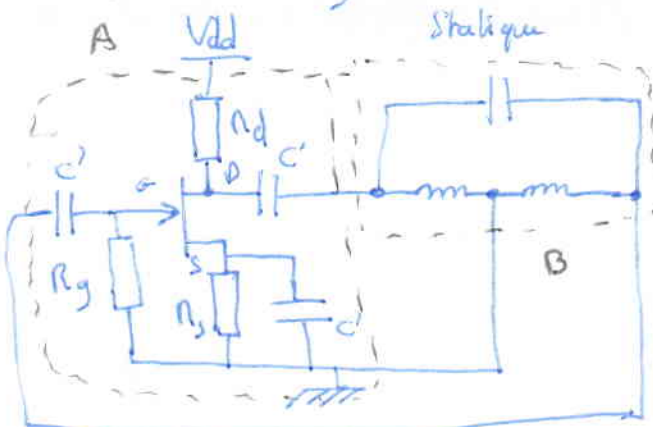


$$(Y_{eq}) = \left(\frac{1}{(R_1 // R_2) // r_{be}} + jC_2\omega + \frac{1}{jL\omega} + \frac{\beta}{r_{be}} - \frac{1}{jL\omega} + \frac{1}{R_c} + jC_1\omega + \frac{1}{jL\omega} \right)$$

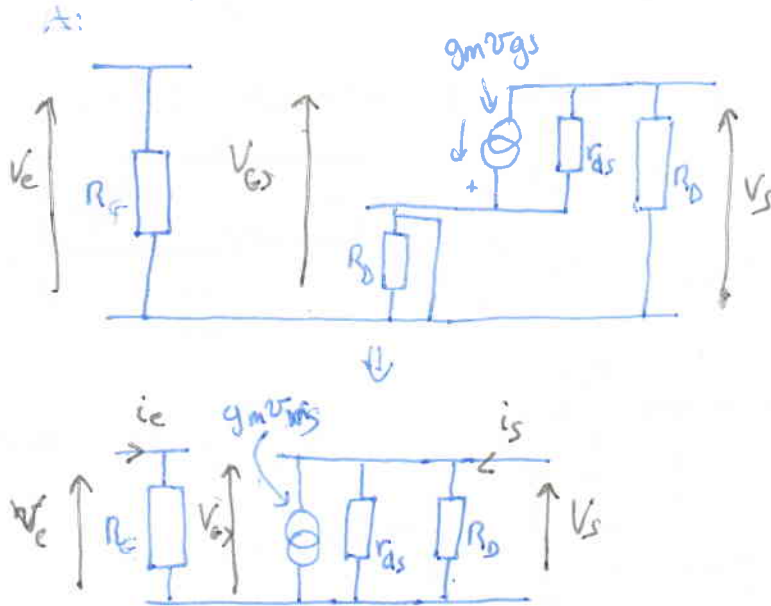
$$\left. \begin{array}{l} i_{1eq} = i_{2eq} = 0 \\ v_{1eq} \neq 0 \\ v_{2eq} \neq 0 \end{array} \right\} \Rightarrow \det(Y_{eq}) = 0 \Rightarrow Y_{11} \times Y_{22} - Y_{12} Y_{21} = 0.$$

$$\Rightarrow \left(\frac{1}{(R_1 // R_2) // r_{be}} + jC_2\omega + \frac{1}{jL\omega} \right) \left(\frac{1}{R_c} + jC_1\omega + \frac{1}{jL\omega} \right) + \frac{1}{jL\omega} \left(\frac{\beta}{r_{be}} - \frac{1}{jL\omega} \right) = 0$$

Oscillateur Hartley



Dynamique



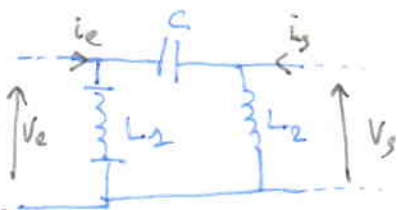
Gain à vide:

$$\begin{cases} V_{s_0} = -g_m v_{gs} (r_{ds} // R_D) \\ v_{gs} = V_e \end{cases}$$

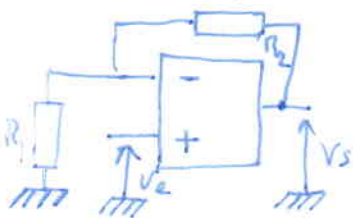
donc

$$A_o = \frac{V_{s_0}}{V_e} = \frac{-g_m v_{gs} (r_{ds} // R_D)}{v_{gs}} = -g_m (r_{ds} // R_D)$$

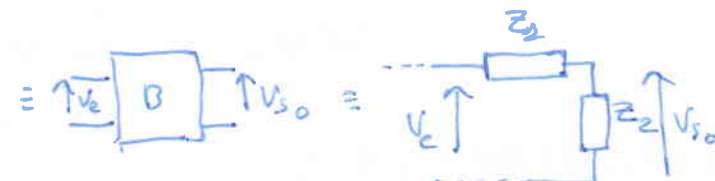
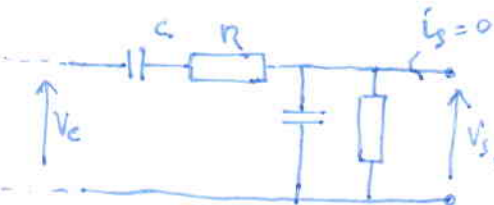
B: Dynamique



Oscillateur Pont de Wien



$$\equiv \uparrow V_e \text{ [A] } \uparrow V_s \quad \frac{V_s}{V_e} = 1 + \frac{R_2}{R_1} \quad (\text{pas de déphasage})$$



$$\frac{V_{s_0}}{V_e} = \frac{R}{1+jRC\omega} + \frac{1}{\frac{R}{1+jRC\omega} + R + \frac{1}{jC\omega}}$$

$$\left\{ \begin{aligned} V_{s_0} &= \frac{Z_2}{Z_1+Z_2} V_e \end{aligned} \right.$$

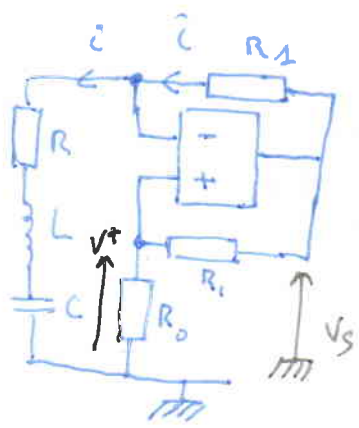
$$\frac{V_{s_0}}{V_e} = \frac{R}{R + (R + \frac{1}{jC\omega}) // (1 + jRC\omega)} = \frac{jRC\omega}{jRC\omega + (jRC\omega + 1)^2} = \frac{jRC\omega}{1 + 3jRC\omega - R^2 C^2 \omega^2}$$

$$\frac{V_{s2}}{V_{s1}} = 1 + \frac{R_2}{R_1} = \frac{V_{e2}}{V_{s0}} = \frac{1 + 3jR\omega - R^2\omega^2 C^2}{jRC\omega} \Leftrightarrow jRC\omega \left(1 + \frac{R_2}{R_1}\right) = 1 - R^2 C^2 \omega^2 + j3R\omega$$

$$jRC\omega + jRC\omega \frac{R_2}{R_1} = 1 - R^2 C^2 \omega^2 + j3R\omega$$

Réel : $1 - R^2 C^2 \omega^2 = 0 \rightarrow \boxed{\omega_0 = \frac{1}{RC} = 2\pi f_0}$

Imagi : $R\omega + R\omega \frac{R_2}{R_1} = 3R\omega \rightarrow \boxed{1 + \frac{R_2}{R_1} = 3}$



$$\begin{cases} V^+ = V_s \frac{R_o}{R_o + R_1} = 0 \text{ donc } R_2 \cdot i = U \frac{R_o + R_1}{R_o} - U \\ R_1 i = V_s - U \\ V^- = U = V^+ \end{cases} \text{ d'où } U = R_o i$$

$$V_c + U_L + R_i i = R_o i$$

$$U_L = L \frac{di}{dt} = LC \frac{d^2 u_c}{dt^2}$$

$$i = C \dots$$

$$\text{on a } U_c + LC \frac{dU_c}{dt} = i(R_o - R) = 0$$

$$\omega_0 = \frac{1}{\sqrt{1-C}}$$

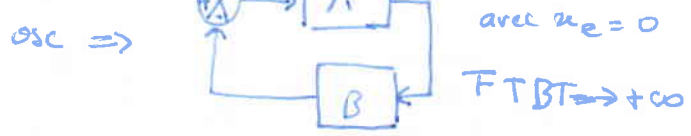
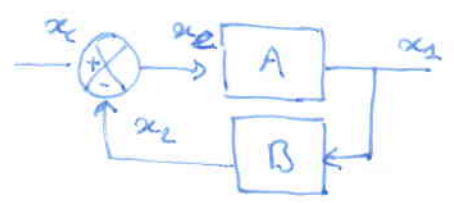
Oscillateur :
 → gain
 +
 → déphaseur

↓
 Quadripôle A
 +
 Quadripôle B

Loi nœud maïlle
 ↓
 FT transfert A+B
 ↓
 Boucle A et B
 Expr Cpx

Associat°
 parallèle
 #
 Série
 ↓
 Calcul matric
 Z ⇒ det(Z) = 0

+1



$$FTBT = \frac{A}{A+AB} = \frac{x_s}{x_e}$$

$$1 + AB = 0 \text{ d'où } AB = -1$$

$$\begin{matrix} \swarrow & \searrow \\ \text{Reel}(AB) = -1 & \text{Im}(AB) = 0 \end{matrix}$$

Freq porteuse : $X_p(t) = A_p \cos(2\pi f_p t + \varphi_p)$

\uparrow AM \uparrow FM \uparrow PM

$x(t)$ T_0 -périodique.

$$x(t) = a_0 + \sum_{n \geq 1} a_n \cos(n\omega_0 t) + b_n \sin(n\omega_0 t)$$

$$a_n = \frac{2}{T} \int_{(T)} x(t) \cos(n\omega_0 t) dt$$

$$b_n = \frac{2}{T} \int_{(T)} x(t) \sin(n\omega_0 t) dt$$

MAPC : $(X_m(t) + E_0) X_p(t) = X_s(t)$

$$X_s(t) = E_0 \left(1 + \frac{X_m(t)}{E_0} \right) X_p(t)$$

On définit l'indice de modulation : $m = \max \left(\frac{X_m(t)}{E_0} \right)$

Exemple : $X_m(t) = A_m \cos(2\pi f_m t)$

$$X_p(t) = A_p \cos(2\pi f_p t)$$

$$X_s(t) = X_p(t) (E_0 + X_m(t))$$

$$X_s(t) = A_p \cos(2\pi f_p t) (E_0 + A_m \cos(2\pi f_m t))$$

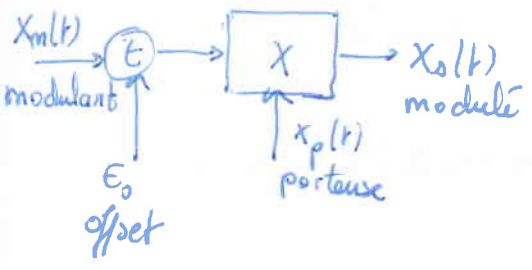
$$X_s(t) = \underbrace{A_p E_0}_{A_s} \left(1 + \frac{A_m}{E_0} \cos(2\pi f_m t) \right) \cos(2\pi f_p t)$$

et $m = \frac{A_m}{E_0}$, $X_s(t) = A_s (1 + m \cos(2\pi f_m t)) \cos(2\pi f_p t)$

$$X_s(t) = A_p \cos(2\pi f_p t) + \frac{2m}{2} A_s \cos(2\pi f_m t) \cos(2\pi f_p t)$$

$$X_s(t) = A_p \cos(2\pi f_p t) + \frac{m}{2} A_s (\cos(2\pi (f_m + f_p) t) + \cos(2\pi (f_p - f_m) t))$$

$$x_p(t) = A_p \cos(\omega_p t + \varphi_p)$$



AM
 ↗ AMPC Porteuse conservée
 ↘ AMSP Sans Porteuse

AMPC :
 $X_m(t)$ BF
 $X_m(t) + E_0$ (on ajoute un offset)
 $X_s(t) = (E_0 + X_m(t)) X_p(t)$

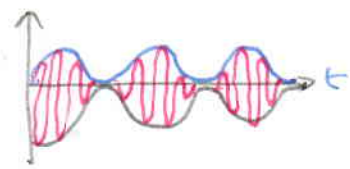
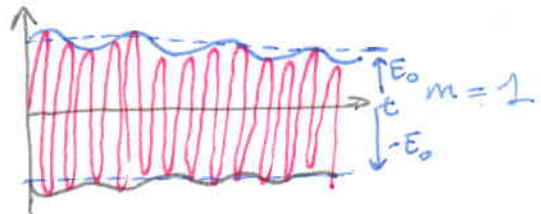
Etude cas particulier

$X_m(t) = A_m \cos(\omega_m t)$ et $X_p(t) = A_p \cos(\omega_p t)$ et $X_s(t) = (E_0 + A_m \cos(\omega_m t)) \cdot A_p \cos(\omega_p t) = X_m(t)$

$X_s(t) = E_0 A_p \left(1 + \frac{A_m}{E_0} \cos(\omega_m t) \right) \cos(\omega_p t)$ (m indice de modulation)

$0 < m = \frac{A_m}{E_0}$

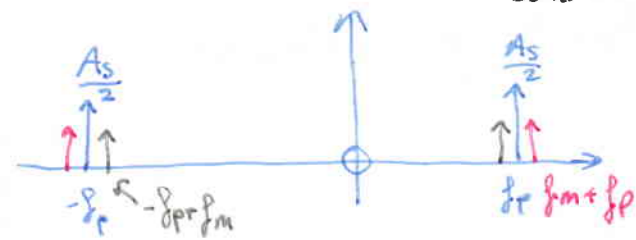
$0 < m < 1$



$$X_s(t) = A_s (1 + m \cos(\omega_m t)) \cos(\omega_p t) \text{ AMPC} \rightarrow X_s(f)$$

$$X_s(t) = A_s \cos(\omega_p t) + m A_s \cos(\omega_m t) \cos(\omega_p t)$$

$$X_s(t) = \underbrace{A_s \cos(\omega_p t)}_{\text{porteuse}} + \underbrace{\frac{1}{2} m A_s \cos((\omega_p + \omega_m)t)}_{\text{somme des angles}} + \underbrace{\frac{1}{2} m A_s \cos((\omega_p - \omega_m)t)}_{\text{différence des angles}}$$



$$P_m(t) = \frac{x_0^2(t)}{R_{ant}}$$

$$P_{AM}(t) = \frac{1}{T} \int_{(T)} P_{AM}(t) dt = \frac{1}{R_{ant}} \left(\frac{1}{T} \int_{(T)} x_0^2(t) dt \right) = \frac{1}{R_{ant}} \left(\sum_k \left(\frac{x_k}{\sqrt{2}} \right)^2 \right)$$

pic de Dirac

Exemple

$$x_m(t) = A_m \cos(\omega_m t)$$

$$x_p(t) = A_p \cos(\omega_p t)$$

$$P_{AM}(t) = \frac{1}{R_{ant}} \left(\underbrace{\left(\frac{A_s}{\sqrt{2}} \right)^2}_{\text{porteuse}} + \underbrace{\left(\frac{1}{2\sqrt{2}} m A_s \right)^2}_{\text{Borne sup}} + \underbrace{\left(\frac{1}{2\sqrt{2}} m A_s \right)^2}_{\text{Borne inf.}} \right)$$

Cas particulier : $m=1$.

$$P_{ant} : P_{AM} = \frac{A_0^2}{2} + 2 \frac{1^2 A_s^2}{8}$$

$$I_{AM} = \frac{A_s^2}{2} + \frac{A_s^2}{4} = \frac{2A^2}{4} + \frac{A_s^2}{4}$$

Porteuse : 2/3 (66%) de la conv.

MASP:

$$x_m(t) \text{ modulant } x_p(t) \text{ porteuse } X_s(t) = x_m(t) + x_p(t)$$

Cas particulier:

$$x_m(t) = A_m \cos(\omega_m t) \quad x_p(t) = A_p \cos(\omega_p t)$$

$$X_s(t) = \underbrace{A_m A_p}_{A_s} \cos(\omega_m t) \cos(\omega_p t)$$

$$X_s(t) = \frac{A_s}{2} \cos((\omega_m + \omega_p)t) + \frac{A_s}{2} \cos((\omega_p - \omega_m)t)$$